

90/150 CA $\langle 10 \cdots 0 \rangle$ 의 특성다항식

김진경* · 조성진** · 최언숙*** · 김한두**** · 강성원*

Characteristic Polynomials of 90/150 CA $\langle 10 \cdots 0 \rangle$

Jin-Gyoung Kim* · Sung-Jin Cho** · Un-Sook Choi*** · Han-Doo Kim**** · Sung-Won Kang*

요약

암호 시스템의 키 생성기로 사용되는 90/150 CA는 LFSR보다 난수성이 뛰어나지만 합성법이 어렵기 때문에 CA 합성법에 대한 연구가 많은 연구자에 의해 진행되어 왔다. 적합한 CA를 합성하기 위해 90/150 CA의 특성다항식에 대한 분석이 선행되어야 한다. 일반적으로 n 셀 90/150 CA의 특성다항식 Δ_n 는 Δ_{n-1} 와 Δ_{n-2} 을 이용하여 구한다. 본 논문에서는 n 셀 90/150 CA $\langle 10 \cdots 0 \rangle$ 의 특성다항식 $H_n(x)$ 을 $(n-1)$ 셀 90/150 CA $\langle 10 \cdots 0 \rangle$ 의 특성다항식 $H_{n-1}(x)$ 로부터 구하는 방법과 이 방법을 이용하여 $H_2^n(x)$ 로부터 $H_{2^n+i}(x)$ 와 $H_{2^n-i}(x)$ ($1 \leq i \leq 2^{n-1}$)을 효과적으로 구하는 알고리즘을 제안한다.

ABSTRACT

90/150 CA which are used as key generators of the cipher system have more randomness than LFSRs, but synthesis methods of 90/150 CA are difficult. Therefore, 90/150 CA synthesis methods have been studied by many researchers. In order to synthesize a suitable CA, the analysis of the characteristic polynomial of 90/150 CA should be preceded. In general, the characteristic of polynomial Δ_n of n cell 90/150 CA is obtained by using Δ_{n-1} and Δ_{n-2} . Choi et al. analyzed $H_{2^n}(x)$ and $H_{2^{n-1}}(x)$, where $H_k(x)$ is the characteristic polynomial of k cell 90/150 CA with state transition rule $\langle 10 \cdots 0 \rangle$. In this paper, we propose an efficient method to obtain $H_n(x)$ from $H_{n-1}(x)$ and an efficient algorithm to obtain $H_{2^n+i}(x)$ and $H_{2^n-i}(x)$ ($1 \leq i \leq 2^{n-1}$) from $H_{2^n}(x)$ by using this method.

키워드

Characteristic Polynomial, Fractal Structure, Cellular Automata, Transition Rule, 90/150 CA
특성 다항식, 프랙탈 구조, 셀룰라 오토마타, 전이 규칙, 90/150 CA

1. 서론

Wolfram은 1980년대에 3-이웃 1차원 셀룰라 오토

마타(CA : Cellular Automata)를 제안하였다[1]. 이러한 CA는 모든 셀이 선형으로 배열되어 있고 각 셀은 자기 자신과 왼쪽과 오른쪽에 인접한 두 개의 셀 상

* 부경대학교 응용수학과 (5892587@hanmail.net, jsm2371@hanmail.net)

** 교신저자 : 부경대학교 응용수학과

*** 동명대학교 정보통신공학과 (choies@tu.ac.kr)

**** 인제대학교 응용수학과 (mathkhd@inje.ac.kr)

• 접수일 : 2018. 09. 07

• 수정완료일 : 2018. 10. 26

• 게재확정일 : 2018. 12. 15

• Received : Sep. 07, 2018, Revised : Oct. 26, 2018, Accepted : Dec. 15, 2018

• Corresponding Author : Sung-Jin Cho

Dept. of Applied Math. Pukyong National University,

Email : sjcho@pknu.ac.kr

태에 의해 다음 상태로 갱신되는 시스템이다[2]. 각 셀의 국소적 상호작용에 의해 동시에 갱신되는 CA는 간단하고 규칙적이며 작은 단위로 확장 연결할 수 있기 때문에 하드웨어 구현에 적합하다[3]. 이러한 이유로 CA는 테스트 패턴 생성, 의사난수 생성, 패턴분류, 암호화 및 오류정정부호 등의 많은 분야에서 응용되고 있다[4-8].

CA 중 가장 랜덤성이 뛰어난 것은 90/150 CA이므로 응용에 적합한 90/150 CA를 합성하기 위하여 90/150 CA의 특성다항식인 CA다항식(CA polynomial)에 대한 연구가 진행되어왔다[9-14]. 주어진 CA다항식에 대응하는 90/150 CA의 합성방법을 여러 연구자들이 연구하고 있다. Cho 등은 그룹 CA와 비그룹 CA의 특성다항식을 분석하였고, 그 후에 그들은 최대 길이 90/150 CA를 갖는 효율적인 합성방법을 제안하였으며, 그들이 제안한 방법은 기존에 제안된 방법보다 계산 복잡도를 $O(n^7)$ 에서 $O(n^2)$ 로 크게 낮추는 효율적인 방법이다[10,11].

Choi 등은 2^n 셀 90/150 CA $\langle 10 \dots 0 \rangle$ 의 특성다항식 $H_{2^n}(x)$ 와 $(2^n - 1)$ 셀 90/150 CA $\langle 10 \dots 0 \rangle$ 의 특성다항식 $H_{2^n-1}(x)$ 을 분석했다[12,13]. 본 논문에서는 n 셀 90/150 CA $\langle 10 \dots 0 \rangle$ 의 특성다항식 $H_n(x)$ 을 $(n-1)$ 셀 90/150 CA $\langle 10 \dots 0 \rangle$ 의 특성다항식 $H_{n-1}(x)$ 와 $(n-2)$ 셀 90/150 CA $\langle 10 \dots 0 \rangle$ 의 특성다항식 $H_{n-2}(x)$ 를 이용한 점화식으로 구하는 방법이 아닌 $(n-1)$ 셀 90/150 CA $\langle 10 \dots 0 \rangle$ 의 특성다항식 $H_{n-1}(x)$ 로부터 구하는 방법과 이 방법을 이용하여 $H_{2^n}(x)$ 로부터 $H_{2^{n+i}}(x)$ 와 $H_{2^{n-i}}(x)$ ($1 \leq i \leq 2^{n-1}$)을 효과적으로 구하는 알고리즘을 제안한다. 또한 $H_n(x)$ 의 계수들을 순차적으로 나열하였을 때 그 배열이 시어핀스키 삼각형 형태의 프랙탈 구조를 가지고 있다는 것을 보인다[15].

II. 기본 지식

s_i^t 를 t 시간에 i 번째 셀의 상태라 할 때 s_i^{t+1} 는 다음과 같이 나타낸다. 여기서 f_i 는 다음 상태를 구하는 전이함수이다.

$$s_i^{t+1} = f_i(s_{i-1}^t, s_i^t, s_{i+1}^t)$$

그림 1은 전이규칙 90과 전이규칙 150에 대하여 Wolfram의 표기법으로 나타낸 것이다.



그림 1. Wolfram의 표기법으로 나타낸 전이규칙 90과 전이규칙 150

Fig. 1 The transition rules 90 and 150 represented by Wolfram's notation

본 논문에서 사용하는 전이규칙 90과 전이규칙 150은 다음과 같이 부울함수로 표현된다.

$$\begin{aligned} \text{전이규칙 90} \quad & s_i^{t+1} = s_{i-1}^t \oplus s_{i+1}^t \\ \text{전이규칙 150} \quad & s_i^{t+1} = s_{i-1}^t \oplus s_i^t \oplus s_{i+1}^t \end{aligned}$$

부울함수가 XOR로만 표현되는 규칙을 선형규칙이라 하고, 모든 전이규칙이 선형규칙으로 이루어진 CA를 선형 CA(linear CA)라 한다. 이러한 선형 CA는 상태전이행렬로 표현이 가능하다. 전이규칙 90과 150만으로 이루어진 n 셀 90/150 선형 CA의 상태전이행렬 T_n 는 식 (1)과 같다.

$$T_n = \begin{pmatrix} d_1 & 1 & 0 & \dots & 0 & 0 \\ 1 & d_2 & 1 & \dots & 0 & 0 \\ 0 & 1 & d_3 & \dots & 0 & 0 \\ \vdots & \vdots & \vdots & \ddots & \vdots & \vdots \\ 0 & 0 & 0 & \dots & d_{n-1} & 1 \\ 0 & 0 & 0 & \dots & 1 & d_n \end{pmatrix} \quad (1)$$

이때 T_n 를 간단히 주대각 성분만을 이용하여 $\langle d_1 \ d_2 \dots \ d_n \rangle$ 로 나타낸다. 여기서 전이규칙이 90이면 $d_i = 0$, 150이면 $d_i = 1$ 이다.

n 셀 90/150 CA의 $GF(2)$ 상의 특성다항식(characteristic polynomial) Δ_n 은 $\Delta_n = |T_n \oplus xI_n|$ 이고 식 (2)를 만족한다. 여기서 I_n 은 $n \times n$ 단위행렬이다.

$$\Delta_n = (x + d_n)\Delta_{n-1} + \Delta_{n-2} \quad (2)$$

여기서 $\Delta_1 = x + 1$, $\Delta_0 = 1$ 이다[3]. Δ_n 은 T_n 의 최소다항식(minimal polynomial)과 같다[3].

그림 2는 127셀 CA의 상태전이행렬 <0...0>에 대하여 초기상태가 64번째 셀만 1이고 나머지 셀은 0인 (0...010...0)를 이용하여 64번 상태전이를 시켜 시간에 따라 변해가는 전체 패턴을 나타낸 결과이다. 이 결과는 시어핀스키 삼각형 형태의 프랙탈 구조를 갖는다.

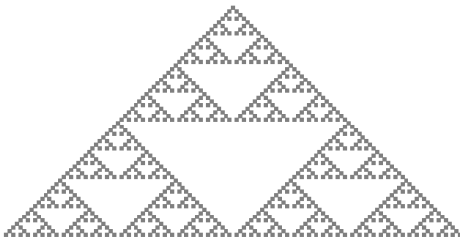


그림 2. 90 UCA의 상태전이에 대응하는 시어핀스키 삼각형 형태의 프랙탈 구조
Fig. 2 Fractal structure in the form of Sierpinski's triangle corresponding to state transition of 90 UCA

전이규칙이 <10...00>인 n 셀 90/150 CA의 특성다항식 $H_n(x)$ 은 식 (3)과 같은 점화식이 성립한다.

$$H_n(x) = x H_{n-1}(x) + H_{n-2}(x) \quad (n \geq 2) \quad (3)$$

여기서 $H_1(x) = x + 1$, $H_0(x) = 1$ 이다.

식 (4), 식 (5), 식 (6)은 $H_n(x)$ 에 대한 [12,13]의 연구결과이다.

$$H_{2^n-1}(x) = x^{2^n-1} + [H_{2^n-1-1}(x)]^2 \quad (4)$$

$$H_{2^n}(x) = x^{2^n-1} + [H_{2^n-1}(x)]^2 \quad (5)$$

$$H_{2^n}(x) = x^{2^n} + H_{2^n-1}(x) \quad (6)$$

III. 전이규칙이 <10...0>인 90/150 CA의 특성다항식

$H_{2^n-1}(x)$ 와 $H_{2^n}(x)$ 의 형태는 식 (4), 식 (5), 식 (6)로부터 식 (7), 식 (8)과 같이 나타낼 수 있다.

$$H_{2^n-1}(x) = x^{2^n-1} + x^{2^n-2^1} + x^{2^n-2^2} + \dots + x^{2^n-2^{n-1}} + 1 \quad (7)$$

$$H_{2^n}(x) = x^{2^n} + x^{2^n-2^0} + x^{2^n-2^1} + x^{2^n-2^2} + \dots + x^{2^n-2^{n-1}} + 1 \quad (8)$$

또한 $H_{2^n}(x) \cdot H_{2^n-1}(x) = x^{2^{n+1}-1} + 1$ 는 x 를 제외한 차수가 $n+1$ 의 약수인 모든 기약다항식들의 곱이다[13].

$H_i(x)$ 를 다음과 같이 나타내었다고 하자.

$$H_i(x) = c_{i,0} + c_{i,1}x + \dots + c_{i,j}x^j + \dots + c_{i,i-2}x^{i-2} + x^{i-1} + x^i$$

그러면 식 (3)에 의해 식 (9)가 성립한다.

$$c_{i,j} = c_{i-1,j-1} + c_{i-2,j}, \quad (i \geq 2, 1 \leq j \leq i, c_{0,1} := 0) \quad (9)$$

식 (9)에 $c_{i,0} = c_{i,i-1} = c_{i,i} = 1$ 은 분명하다.

정리 1> 전이규칙이 <10...0>인 $2l$ 셀 90/150 CA의 특성다항식 $H_{2l}(x)$ 의 계수 $c_{2l,k}$ ($1 \leq k \leq 2l-2$)는 식 (10)과 같다.

$$c_{2l,k} = \begin{cases} c_{2l-1,2j-1}, & \text{if } k=2j-1 \\ c_{2l-1,2j-1} + c_{2l-1,2j}, & \text{if } k=2j \end{cases} \quad (10)$$

여기서 $1 \leq j \leq l-1$ ($l \geq 2$)이고 $c_{i,j} := 0$ ($i < j$)이다.

(증명) $l=2$ 일 때 $H_4(x) = 1 + x^2 + x^3 + x^4$ 이다.

따라서 $c_{4,0} = 1$, $c_{4,1} = 0$, $c_{4,2} = c_{4,3} = c_{4,4} = 1$ 이다.

$c_{4,1} = c_{3,1} = 0$, $c_{4,2} = c_{3,2} + c_{3,1} = 1$ 이므로 성립한다.

$l=k$ ($k \geq 3$)일 때 식 (10)이 성립한다고 가정하자.

(i) 식 (9)와 귀납가정을 이용하면 $c_{2(k+1),2j-1}$ 은 다음과 같다.

$$\begin{aligned} & c_{2(k+1),2j-1} \\ &= c_{2k+1,2j-2} + c_{2k,2j-1} \\ &= (c_{2k,2j-3} + c_{2k-1,2j-2}) + c_{2k-1,2j-1} \end{aligned}$$

$$\begin{aligned} &= c_{2k, 2j-3} + (c_{2k, 2(j-1)} + c_{2k-1, 2(j-1)-1}) + c_{2k-1, 2j-1} \\ &= c_{2k, 2(j-1)} + c_{2k-1, 2j-1} \\ &= c_{2(k+1)-1, 2j-1} \end{aligned}$$

(ii) $c_{2(k+1), 2j}$ -도 (i)과 유사한 방법으로 증명하면 다음과 같은 결과를 얻을 수 있다.

$$\begin{aligned} c_{2(k+1), 2j} &= c_{2(k+1)-1, 2j-1} + c_{2(k+1)-1, 2j} \\ \text{따라서 모든 } l(\geq 2), 1 \leq j \leq l-1 \text{에 대하여 식} \\ (10) \text{이 성립한다.} & \hspace{15em} \text{(Q.E.D.)} \end{aligned}$$

식 (10)을 이용하여 다음 따름정리를 얻는다.

따름정리 2> $H_{2l-1}(x)$ 의 계수 $c_{2l-1, k}$ ($1 \leq k \leq 2l-2$)는 식 (11)과 같다.

$$c_{2l-1, k} = \begin{cases} c_{2l, 2j-1}, & \text{if } k = 2j-1 \\ c_{2l, 2j-1} + c_{2l, 2j}, & \text{if } k = 2j \end{cases} \quad (11)$$

여기서 $1 \leq j \leq l-1$ ($l \geq 2$) 이고 $c_{i, j} := 0$ ($i < j$) 이다.

정리 3> 전이규칙이 $\langle 10 \cdots 0 \rangle$ 인 $(2k+1)$ 셀 90/150 CA의 특성다항식 $H_{2k+1}(x)$ 의 계수 $c_{2k+1, s}$ ($0 \leq s \leq 2k-1$)는 식 (12)와 같다.

$$c_{2k+1, s} = \begin{cases} c_{2k, 2i}, & \text{if } s = 2i \\ c_{2k, 2i} + c_{2k, 2i+1}, & \text{if } s = 2i+1 \end{cases} \quad (12)$$

여기서 $0 \leq i \leq k-1$ ($k \geq 1$) 이고 $c_{i, j} := 0$ ($i < j$) 이다.

(증명) $k=1$ 일 때 $H_3(x) = 1 + x^2 + x^3$ 이다. 따라서 $c_{3,0} = 1, c_{3,1} = 0, c_{3,2} = c_{3,3} = 1$ 이다.

$c_{3,0} = c_{2,0} = 1, c_{3,1} = c_{2,1} + c_{2,2} = 0$ 이므로 성립한다. $k=h$ ($h \geq 2$)일 때 식 (12)가 성립한다고 가정하자.

(i) 식 (9)와 귀납가정을 이용하면 $c_{2(h+1)+1, 2i}$ 은 다음과 같다.

$$\begin{aligned} &c_{2(h+1)+1, 2i} \\ &= c_{2h+2, 2i-1} + c_{2h+1, 2i} \\ &= (c_{2h+1, 2i-2} + c_{2h, 2i-1}) + c_{2h+1, 2i} \\ &= c_{2h+1, 2i-2} + (c_{2h+1, 2i-1} + c_{2h, 2i-2}) + c_{2h+1, 2i} \\ &= c_{2h+1, 2i-1} + c_{2h+1, 2i} \\ &= c_{2(h+1), 2i} \end{aligned}$$

(ii) $c_{2(h+1)+1, 2i+1}$ 도 (i)과 유사한 방법으로 증명하면 다음과 같은 결과를 얻을 수 있다.

$$\begin{aligned} c_{2(h+1)+1, 2i+1} &= c_{2(h+1), 2i} + c_{2(h+1), 2i+1} \\ \text{따라서 모든 } k(\geq 1), 0 \leq i \leq k-1 \text{에 대하여 식} \\ (12) \text{가 성립한다.} & \hspace{15em} \text{(Q.E.D.)} \end{aligned}$$

식 (12)를 이용하여 다음 따름정리를 얻는다.

따름정리 4> $H_{2k}(x)$ 의 계수 $c_{2k, s}$ ($0 \leq s \leq 2k-1$)는 식 (13)과 같다.

$$c_{2k, s} = \begin{cases} c_{2k+1, 2i}, & \text{if } s = 2i \\ c_{2k+1, 2i} + c_{2k+1, 2i+1}, & \text{if } s = 2i+1 \end{cases} \quad (13)$$

여기서 $0 \leq i \leq k-1$ ($k \geq 1$) 이고 $c_{i, j} := 0$ ($i < j$) 이다.

$H_m(x)$ 는 다음과 같은 2가지 경우로 나누어 구한다. $n = \lfloor \log_2 m \rfloor$ 일 때,

i) $\min\{m-2^n, 2^{n+1}-1-m\} = m-2^n$ 인 경우: 식 (8)에 의해 $H_{2^n}(x)$ 로부터 식 (10)과 식 (12)를 이용하여 $H_m(x)$ 를 구한다.

ii) $\min\{m-2^n, 2^{n+1}-1-m\} = 2^{n+1}-1-m$ 인 경우: 식 (7)에 의해 $H_{2^{n+1}-1}(x)$ 로부터 식 (11)과 식 (13)을 이용하여 $H_m(x)$ 를 구한다.

예제 5> i) $H_{18}(x)$ 는 $\min\{18-2^4, 2^5-1-18\} = \min\{2, 13\} = 2$ 이므로 $H_{2^4}(x)$ 로부터 구한다. 식 (8)에 의해 $H_{2^4}(x) = x^{16} + x^{15} + x^{14} + x^{12} + x^8 + 1$ 이다. $H_{17}(x)$ 은 식 (12)를 이용하여 다음과 같이 구할 수 있다.

$$\begin{aligned} c_{17,0} &= c_{17,1} = c_{17,8} = c_{17,9} = c_{17,12} = c_{17,13} \\ &= c_{17,14} = c_{17,16} = c_{17,17} = 1, \\ c_{17,2} &= c_{17,3} = c_{17,4} = c_{17,5} = c_{17,6} = c_{17,7} \\ &= c_{17,10} = c_{17,11} = c_{17,15} = 0 \end{aligned}$$

$H_{18}(x)$ 은 식 (10)을 이용하여 다음과 같이 구할 수 있다.

$$\begin{aligned} c_{18,0} &= c_{18,1} = c_{18,2} = c_{18,8} = c_{18,9} = c_{18,10} = c_{18,12} \\ &= c_{18,13} = c_{18,16} = c_{18,17} = c_{18,18} = 1, \\ c_{18,3} &= c_{18,4} = c_{18,5} = c_{18,6} = c_{18,7} \\ &= c_{18,11} = c_{18,14} = c_{18,15} = 0 \end{aligned}$$

따라서 $H_{18}(x)$ 은 다음과 같다.

$$H_{18}(x) = x^{18} + x^{17} + x^{16} + x^{13} + x^{12} + x^{10} + x^9 + x^8 + x^2 + x + 1$$

ii) $H_{13}(x)$ 는 $\min\{13-2^3, 2^4-1-13\} = \min\{5, 2\} = 2$ 이므로 $H_{2^4-1}(x)$ 로부터 구한다. 식 (7)에 의해 $H_{2^4-1}(x) = x^{15} + x^{14} + x^{12} + x^8 + 1$ 이다. $H_{14}(x)$ 은 식 (13)을 이용하여 $H_{13}(x)$ 은 식 (11)을 이용하여 구할 수 있다. 따라서 $H_{13}(x)$ 은 다음과 같다.

$$H_{13}(x) = x^{13} + x^{12} + x^{10} + x^9 + x^8 + x^2 + x + 1$$

그림 3은 $H_n(x)$ 을 효과적으로 구하는 알고리즘이다.

```

Input : Degree  $n$  of  $H_n(x)$ 
Output : The characteristic polynomial  $H_n(x)$ 
Step1 : Compute  $m = \lfloor \log_2 n \rfloor$  .
Step2 :  $K = \min(n - 2^m, 2^{m+1} - n)$ 
        switch  $K$ 
        case  $K = n - 2^m$ 
            Make  $H_{2^m}(x) = x^{2^m} + x^{2^m-1} + \dots + x^{2^m-2^{m-1}} + 1$ 
            if  $K \neq 0$  then
                for  $i$  from 1 to  $k$ 
                    switch  $i$ 
                    case  $i \equiv 1 \pmod{2}$ 
                         $\begin{cases} c_{2k+1, 2i} = c_{2k, 2i} \\ c_{2k+1, 2i+1} = c_{2k, 2i} + c_{2k, 2i+1} \end{cases}$ 
                        break
                    case  $i \equiv 0 \pmod{2}$ 
                         $\begin{cases} c_{2l, 2j-1} = c_{2l-1, 2j-1} \\ c_{2l, 2j} = c_{2l-1, 2j-1} + c_{2l-1, 2j} \end{cases}$ 
                STOP
            else STOP
        case  $K = 2^{m+1} - n$ 
            Make  $H_{2^m}(x) = x^{2^m} + x^{2^m-1} + \dots + x^{2^m-2^{m-1}} + 1$ 
            for  $i$  from 1 to  $k$ 
                switch  $i$ 
                case  $i \equiv 1 \pmod{2}$ 
                     $\begin{cases} c_{2l-1, 2j-1} = c_{2l, 2j-1} \\ c_{2l-1, 2j} = c_{2l, 2j-1} + c_{2l, 2j} \end{cases}$ 
                    break
                case  $i \equiv 0 \pmod{2}$ 
                     $\begin{cases} c_{2k, 2i} = c_{2k+1, 2i} \\ c_{2k, 2i+1} = c_{2k+1, 2i} + c_{2k+1, 2i+1} \end{cases}$ 
            STOP

```

그림 3. $H_n(x)$ 을 구하는 알고리즘
Fig. 3 Algorithm for finding $H_n(x)$

정리 6> 전이규칙이 <10...00>인 $(2^n + i)$ 셀 90/150 CA의 특성다항식을 $H_{2^n+i}(x)$ 라 하면 식 (14)가 성립한다.

$$H_{2^n+i}(x) = H_{2^n-1-i}(x) + x^{2^n} H_i(x) \quad (0 \leq i \leq 2^n - 1) \quad (14)$$

(증명) 모든 i ($0 \leq i \leq 2^n - 1$)에 대하여 식 (14)가 성립함을 수학적 귀납법으로 증명한다.

$i=0$ 일 때 $H_{2^n}(x) = H_{2^n-1}(x) + x^{2^n}$ 은 식 (6)에 의해 성립한다. $0 \leq k \leq 2^n - 2$ 인 k 에 대하여

$H_{2^n+k}(x) = H_{2^n-1-k}(x) + x^{2^n} H_k(x)$ 가 성립한다고 가정하자. 그러면

$$\begin{aligned} & H_{2^n-1-(k+1)}(x) + x^{2^n} H_{k+1}(x) \\ &= H_{2^n-1-(k+1)}(x) + x^{2^n} (x H_k(x) + H_{k-1}(x)) \\ &= H_{2^n-1-(k+1)}(x) + x^{2^n} H_k(x) + x^{2^n} H_{k-1}(x) \\ &= H_{2^n-k}(x) + x H_{2^n+k}(x) + x^{2^n} H_{k-1}(x) \\ &= (H_{2^n-1-(k-1)}(x) + x^{2^n} H_{k-1}(x)) + x H_{2^n+k}(x) \\ &= H_{2^n+(k-1)}(x) + x H_{2^n+k}(x) \\ &= H_{2^n+k+1}(x). \end{aligned}$$

따라서 모든 i ($0 \leq i \leq 2^n - 1$)에 대하여

$$H_{2^n+i}(x) = H_{2^n-1-i}(x) + x^{2^n} H_i(x) \text{가 성립한다.} \quad (\text{Q.E.D.})$$

그림 4는 $H_0(x) \sim H_{230}(x)$ 의 계수들을 1이면 검은색으로 0이면 흰색으로 나타낸 것이다. 그 결과는 그림 4와 같이 시어핀스키 삼각형 형태의 프랙탈 구조를 갖는다.

IV. 결 론

본 논문에서는 n 셀 90/150 CA <10...0>의 특성다항식 $H_n(x)$ 을 $(n-1)$ 셀 90/150 CA <10...0>의 특성다항식 $H_{n-1}(x)$ 로부터 구하는 방법과 이 방법을 이용하여 $H_{2^n}(x)$ 로부터 $H_{2^n+i}(x)$ 와 $H_{2^n-i}(x)$ ($1 \leq i \leq 2^{n-1}$)을 효과적으로 구하는 알고리즘을 제안하였다. 또한 $H_n(x)$ 의 계수들을 순차적으로 나열하였을 때 그 배열이 시어핀스키 삼각형 형태의 프랙

탈 구조를 가지고 있다는 것을 보였다.

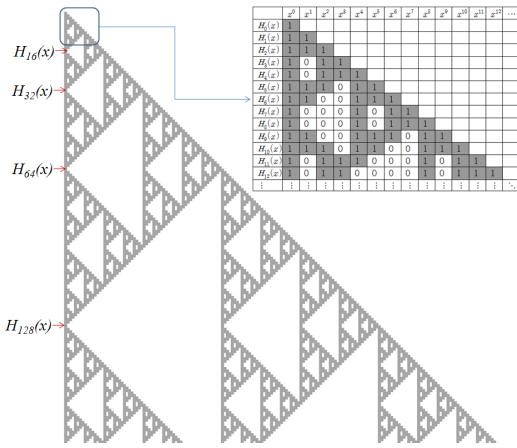


그림 4. $H_0(x) \sim H_{230}(x)$ 의 계수들로 이루어진 시어핀스키 삼각형 형태의 프랙탈 구조
 Fig. 4 Fractal structure in the form of Sierpinski's triangle composed of coefficients from $H_0(x)$ to $H_{230}(x)$

감사의 글

위 논문은 “2018년 한국전자통신학회 봄철 학술대회 우수논문”입니다.

References

[1] S. Wolfram, "Statistical mechanics of cellular automata," *Rev. Modern Physics*, vol. 12, no. 55, 1983, pp. 601-644.

[2] J. Von Neumann, *Theory of self-reproducing automata*. Urbana and London: University of Illinois Press, 1966.

[3] P. P. Chaudhuri, D. R. Chowdhury, S. Nandi, and S. Chattopadhyay, *Additive cellular automata theory and applications*, Los Alamitos, California: IEEE Computer Society Press, 1997.

[4] M. Song, Y. Kang, and H. Kim, "Performance evaluation of big stream based high speed data storage," *J. of the Korea Institute of Electronic Communication Sciences*, vol. 11, no. 5, Oct. 2017, pp. 817-827.

[5] Y. Kim, "On efficient algorithms for generating fundamental units and their H/W implementations over number fields," *J. of the Korea Institute of Electronic Communication Sciences*, vol. 11, no. 6, 2017, pp. 1181-1187.

[6] A. Sabater and P. Gil, "Synthesis of cryptographic interleaved sequences by means of linear cellular automata," *Applied Mathematics Letters*, vol. 22, no. 12, 2009, pp. 1518-1524.

[7] U. Choi, S. Cho, and G. Kong, "Analysis of Characteristic Polynomial of Cellular Automata with Symmetrical Transition Rules," *Proceedings of the Jangjeon Mathematical Society*, vol. 18, no. 1, 2015, pp. 85-93.

[8] H. Kim, S. Cho, U. Choi, and M. Kwon, "Analysis of 90/150 cellular automata with extended symmetrical transition rules," *Proceedings of the Jangjeon Mathematical Society*, vol. 20, no. 2, 2017, pp. 193-201.

[9] K. Cattell and J. Muzio, "Synthesis of one-dimensional linear hybrid cellular automata," *IEEE Trans. Comput-Aided Design Integr. Circuits and Systems*, vol. 15, no. 3, 1996, pp. 325-335.

[10] S. Cho, U. Choi, H. Kim, Y. Hwang, J. Kim, and S. Heo, "New synthesis of one-dimensional 90/150 linear hybrid group cellular automata," *IEEE Trans. Comput-Aided Design Integr. Circuits Syst.*, vol. 26, no. 9, 2007, pp. 1720-1724.

[11] U. Choi, S. Cho, H. Kim, and J. Kim, "90/150 CA corresponding to polynomial of maximum weight," *J. of Cellular Automata*, vol. 13, no. 4, 2018, pp. 347-358.

[12] H. Kim, S. Cho, U. Choi, M. Kwon, and G. Kong, "Synthesis of Uniform CA and 90/150 Hybrid CA," *J. of the Korea Institute of Electronic Communication Sciences*, vol. 11, no. 3, Mar. 2016, pp. 293-302.

[13] U. Choi and S. Cho, "Characteristic Polynomial of 90 UCA and Synthesis of CA using Transition Rule Blocks," *J. of the Korea Institute of Electronic Communication Sciences*, vol. 13, no. 3, 2018, pp. 593-600.

[14] U. Choi, S. Cho, H. Kim, and M. Kwon, "Analysis of 90/150 CA corresponding to the Power of Irreducible Polynomials," *J. of*

Cellular Automata, Accepted.

- [15] R. Lidl and H. Niederreiter, *Finite fields : Encyclopedia of Mathematics and its Applications* 20. New York: Cambridge University Press, 1997.

저자 소개



김진경(Jin-Gyoung Kim)

2008년 부경대학교 대학원 응용수학과 졸업(이학석사)
2013년 부경대학교 대학원 응용수학과 졸업(이학박사)

※ 관심분야 : 셀룰라 오토마타론, 유한체



조성진(Sung-Jin Cho)

1979년 강원대학교 수학교육과 졸업(이학사)
1981년 고려대학교 대학원 수학과 졸업(이학석사)

1988년 고려대학교 대학원 수학과 졸업(이학박사)
1988년~ 현재 부경대학교 응용수학과 교수
※ 관심분야 : 셀룰라 오토마타론, 정보보호



최언숙(Un-Sook Choi)

1992년 성균관대학교 산업공학과 졸업(공학사)
2000년 부경대학교 대학원 응용수학과 졸업(이학석사)

2004년 부경대학교 응용수학과 졸업(이학박사)
2009년 부경대학교 정보보호학과 졸업(공학박사)
2009년~ 현재 동명대학교 정보통신공학과 교수
※ 관심분야 : 셀룰라 오토마타론, 정보보호, 암호이론



김한두(Han-Doo Kim)

1982년 고려대학교 수학과 졸업(이학사)
1984년 고려대학교 대학원 수학과 졸업(이학석사)

1988년 고려대학교 대학원 수학과 졸업(이학박사)
1989년~ 현재 인제대학교 응용수학과 정교수
※ 관심분야 : 셀룰라 오토마타론, 정보보호, 인공지능



강성원(Sung-Won Kang)

2017년 부경대학교 응용수학과 졸업(이학사)
2017년~ 현재 부경대학교 대학원 응용수학과 석사과정 재학

※ 관심분야 : 셀룰라 오토마타론, 유한체

